

FeF₂

FeF_2

(DM. 25241)

1928

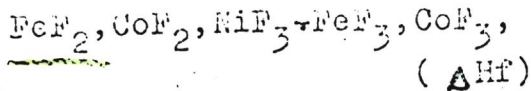
Jellinek K., Rudat A.,

Z. anorg. und allgem.

A.H

Chem., 1928, 175, 281-320.

1929
VI-508



Ruff O., Ascher E.

Z. anorg. allgem. Chem. 1929, 183, 193-213.

"Fluorides of the eighth group of
the periodic system".

ЕСТЬ №. К.

М.
СА., 1930, 306.

1936

VI 3917

Кем оп/к ?

Damiens

Bull. soc. chim. France, 1936, 3, 1

FeF₂

Tm, Hm

Be.

Est.f.k.

ЕСТЬ оп. №

VI-1245

1941

FeF₂ (Ttr)

Bizette H., Tsai B.

Compt.rend., 1941, 212, No3, 119-23.

"The point of the α -transition in
ferrous fluoride, FeF₂".

Est/FACTS OF H.

Be,

CA., 1941, 6166⁸

1943

VI-1240

FeF^{++} , FeF_2^+ (K)

Brossett C., Gustaver B.

Svensk. Kem. Tid. 1942, 54, 185-94,

Chem. Zentr. 1943, I, 1300

"Electrometric determination of small concentrations of fluoride ions".

Ja

F CA, 1944, 3538⁷

VI 1338

1948

сч/102

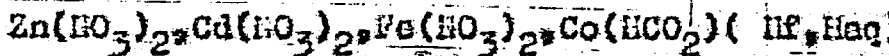
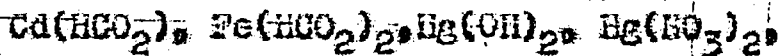
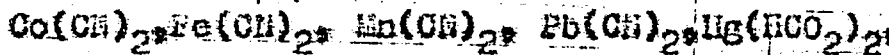
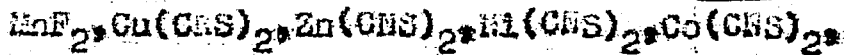
№ 1002/2 (изв. изд.)

ИЦАКСОВСКИЙ К.Б.

ВЕСТНИК АКАД. НАУК СССР. Отдел
Хим. Наук 1948, 500-500
Энергия релакции ...

ИЗДАТЕЛЬСТВО	АКАДЕМИИ НАУК СССР
МОСКВА	1948



~~9455~~

V O S T J

$\text{In}, \text{InF}^{++}, \text{InF}_2, \text{FeF}^{\bar{++}}, \text{FeF}_2$ (ΔH , rep. el. l.)
 $\text{HF} (\bar{y}, \bar{s})$

Hepler L. C.

U. S. Atomic Energy Comm.,
1953, UCRL-2002, 60pp (May)

problems in the aqueous chemis-
try of ~~ing~~ indium.

mem 85-11 B. C.G., 1954, 42940

1953

VI-507

Cp(FeF₂, CoF₂, NiF₂)

Stout J.W., Catalano E.

Phyc.Rev., 1953; 92, N6, 1575.

Thermal anomalies associated with the
antiferromagnetic ordering of FeF₂, CoF₂
and NiF₂.

RX., 1955, N10, 18255.

Est/P
Be

ЕСТЬ О. Н.

V 761

Om 32773

1955

ZnF_2 (Cp, S^o 298, 16, H^o-H_o^o, Ttr)

(MnF₂, FeF₂, CoF₂, NiF₂ (Cp, S, Ttr)

Stout J.W., Catalano E.

J.Chem.Phys., 1955, 23, 11, 2013-2022

Heat capacity of zine fluoride
from 11 to 300°K. Thermodynamics functions
of zine fluoride. Entropy and heat capacity
associated with the antiferromagnetic
ordering of manganous fluoride ferrous
fluoride, cobaltous fluoride and nickelous
fluoride

PX., 1957, 76561

ЕСТЬ Ф. К.

Be

F

Ormuuc 4196

1955

VI-746

FeF_2, CoF_2 (Ttr, Cp, S⁰, H⁰-

$\frac{F^0-H^0}{T}$)

Catalano E., Stout J.W.
J.Chem.Phys., 1955, 23, N10, 1803-08.

Heat capacity and entropy of FeF_2 and CoF_2
from 11 to 300°K. Thermal anomalies
associated with antiferromagnetic ordering.

RX., 1956, N21, 67830

Bel

F

FeF₂

Карачевскому М.Х. | 1956
Дв. Ф.Х., 1956, 30, №3, 593.

$$-\Delta H_{298}^{\circ}(\text{FeF}_2) = \sim 160 \frac{\text{ккал}}{\text{моль}}$$

Теплота
образования

FeF₂

Bauer W.H.

1958

крукт.
структура

Acta crystallogr.
1958, 11, N, 488-490

Добавить!

Добавлено!

[58BAU] карта введена!

A-461

1961

Лантаноиды Zn, Cu, Ni, Co, Fe,
Mn, Cr, Ti, V, Se, Ca, K (ΔH_f)

Barber M., Linnett J.M., Taylor N.H.

J. Chem. Soc., 1961, Aug., 3323-3332

РХ, 1962, 115-251.

М

ЕСТЬ Ф. К.

FeF₂ (r)

оммук 1721

1963

ΔH_f°

ΔH_s°

ΔZ

L. BREWER, G. R. Somayajulu et al.
J. Chem. Rev. 1963, 63, III
THERMODYNAMIC PROPERTIES

1965

CPB-2383-VI

FeF₂ (Cp)

Bizette H., Mainard R., Picard J.

Compt. Rend., 1965, 260(21), (Group 6),
5508

Abnormal specific heat of ferric fluoride.

CA, 1965, 63, N 4, 3689h

Be.

Есть оригинал.

A-538

1965

Fe, Co, Ti, V, Cr, Mn, FeF, FeF₂, FeF₃, CoF₃
TiF₂, VF, VF₂, MnF₂, MnF₃ (o Hf)

Cavell R.G., Clark H.C.

J. Chem. Soc., 1965, (Jan.), 444-448.

CA, 1965, 62, N12, 13937h

M, Б

Есть оригинал.

Датано складиште

6, 8, 7 w.

1965

A-544.

Sc, Ti, V, Cr, Y, Zr, Nb, Mo,
La, Hf, Ta, W, Ru, Rh, Pd, Re, Os, Ir,
Pt.

→ Mn, Fe, Co, Ni (*група XMX - разн. метали.*)

Закон О. Ф. Данилова, М. 2

изв. Спирит. извештај 1965, 6(4)

579-30. Извршни, бајенски

Est/orig.

переходних елемената в MXk.I. развојот
развојот на елементите в MX₂. - *Група XMX*

J

CA, 1965, 63, N13, 17453h

FeF₂

Вар 444-И

1965

10 Б78. Масс-спектрометрические исследования. VIII. Давление сублимации двуфтористого железа. Kent Richard A., Margrave John L. Mass spectrometric studies at high temperatures. VIII. The sublimation pressure of iron(II) fluoride. «J. Amer. Chem. Soc.», 1965, 87, № 21, 4754—4756 (англ.)

На масс-спектрометре с помощью ячейки Кнудсена исследован состав равновесных паров FeF₂ (I). Показано, что пары состоят, в основном, из молекул FeF₂. Теплота сублимации I равна $\Delta H^{\circ}_{298} = 75,3 + 1,2$ ккал/моль. Давление насыщенных паров в зависимости от т-ры описывается уравнением $\lg P(\text{атм.}) = -(1,582 + 0,026) 10^4/T + 9,42 + 0,24$. По эксперим. данным вычислена энергия ионизации I (230 + 10 ккал/моль) и стандартная теплота образования I при 290° К (-92,5 + 5 ккал/моль). М. Митцев

ΔH°_{298}

P

T

ΔH°_f

X. 1964. 10

18

FeF₂

BSP 4461-IT

1965

Mass spectrometric studies at high temperatures. VIII. The sublimation pressure of iron(II) fluoride. Richard A. Kent and John L. Margrave (Rice Univ., Houston, Tex.). *J. Am. Chem. Soc.* 87(21), 4754-6(1965)(Eng); cf. CA 63, 9107e. Mass spectrometric studies of FeF₂ sublimation from a Knudsen cell have established FeF₂(g) as the vapor species and ΔH°_{298} (sublimation) = 75.6 \pm 1.0 kcal. mole. RCIC

ΔH°
5298

C.A. 1966. 64.1

47 fg

1986

VI-4530

MgF₂, CaF₂, SrF₂, BaF₂, SeF₃, VF₂,

VF₃, CrF₂, MnF₂, FeF₂, CoF₂, NiF₂,

CuF₂, YF₃, CdF₂, LaF₃, CeF₃, DyF₃, HoF₃,

ErF₃ (p, Δ Hs, ° H_{atomis.}, *средн. Энергия связи*)

Kent R.A., Zmbov K., McDonald J.D.,

Besenbruch G., Ehrlart T.C., Bantsista R.G.,

Kanaan A.S., Margrave J.L.

Proc. Conf. Nucl. Appl. Nonfissionable Ceram,

Washington, D.C., 1966, 249-55. Sublimation

pressures of refractory fluorides.

M,

F. CA, 1967, 66, N20, 88859h

1966

 FeF_2 ~~RbFeF_3~~

символ

для RbFeF_3 $T_m =$ $= 880^\circ\text{C}$

11 Б337. Получение, выращивание монокристаллов и кристаллографические свойства FeF_2 , RbFeF_3 и CsFeF_3 .
 Kestigian M., Leipziger F. D., Croft W. J., Guidoboni R. Preparation, single crystal growth, and crystallographic properties of FeF_2 , RbFeF_3 , and CsFeF_3 .
 «Inorgan. Chem.», 1966, 5, № 8, 1462—1463 (англ.)

Рентгенографически исследованы RbFeF_3 (I), CsFeF_3 (II) (метод порошка, λ Cu-K α). Монокристаллы I и II получены методом Бриджмена или т-риого градиента из смесей соотв-щих фторидов в атмосфере HF—Ar. Описано получение кристаллов FeF_2 методом сублимации. Параметры кубич. решетки I: a 4,174 Å, ρ (изм.) 4,53, ρ (выч.) 4,54, структура типа перовскита. Параметры гексагон. решетки II: a 6,158, c 14,855 Å, ρ (изм.) 4,93, ρ (выч.) 5,02, структура типа перовскита с искажением по тройным осям. Найдено, что I плавится конгруэнтно при 880° , II — при 708° , $n_m = 1,508$ для I, $n_o = 1,544$ и $n_e = 1,560$ для II.

Л. Демьянец

+2

x. 1967. 11

☒

FeF₂

1966

1) 7 Б339. Аномальное тепловое расширение фторида двухвалентного железа. Krishna Rao K. V., Nagen-der Naidu S. V., Iyengar Leela, Miss. Anomalous thermal expansion of ferrous fluoride. «Current Sci.», (India), 1966, 35, № 11, 280—281 (англ.)

С помощью ранее описанной методики (РЖХим, 1962, 22Б163...) проведено определение параметров гексагон. решетки FeF₂ при различных т-рах в интервале 28—450°. Установлено, что коэф. теплового расширения α_{\perp} (перпендикулярно оси с) и α_{\parallel} (параллельно оси с) в указанном интервале т-р изменяются следующим образом: α_{\parallel} от $-1,51 \times 10^6$ до $-10,35 \times 10^6$, α_{\perp} от $17,57 \times 10^6$ до $27,96 \times 10^6$. Аномальный характер теплового расширения FeF₂ выражается в отриц. значении α_{\parallel} и слишком большой величине α_{\perp} .

С. Рыкова

а. 1967. 7

1966

VI-4510

отопусы Mg, Ni, ~~Fe~~, U (Δ Sf)

Lofgren N.L., McIver E.J.

NASA Accession No N66-29527,
Rept.No AERE-R-5169, 27pp, 1966.

Thermodynamic properties of some
fluoride systems.

(see MgFe)

Be, M,

F

CA, 1967, 67, N4, 15519h

Fe Fe (c) [BY MARIBON] 1967

JH Mackin T.G.;
Bones R.G.;
Wheeler V.G. —

— Proc. Brit. Ceram.
Soc., 1967, N8, p.51-57

1967.

VI-5731

Vi (TiO_2 , MgF_2 , FeF_2 ,
 MnF_2) kp.

Porto S.P.S., Fleury P.A.,
Damen T.G.

Phys. Rev., 1967, 154, N2, 522-26.

Raman spectra of TiO_2 , MgF_2 , ZnF_2 , FeF_2
and MnF_2 .

RX., 1967, 20/210

J

VI 6605: 1968

Langmuir Fe (Ttr)

Lewis G.K., Drickamer H.G., ⁶¹
Proc. Nat. Acad. Sci. USA, 1968, N 2, 414-421

High pressure Mössbauer resonance studies
of the conversion of Fe (III) to Fe(II) in
ferrie holides

FeF_2 , FeC_2O_4 , $Fe_3(PO_4)_2$, $FeSO_4$

1968

ошибка 5868

ΔH_f

соед. Mn

и Fe

ΔH_f ,
ошибка

+3

C.A. 1968. 69. 22

(90541d) Heats of formation of manganese(II) and iron(II) compounds. Shidlovskii, A. A. (Mosk. Inst. Khim. Mashinostr., Moscow, USSR). *Zh. Fiz. Khim.* 1968; 42(6), 1515-16 (Russ). The heats of formation were tabulated for 22 pairs of compds. of bivalent Mn and Fe. From the table it is seen that the difference between any 2 compds. of bivalent Mn or Fe which have the same anion is 15.4 ± 1.0 kcal./equiv. By using this correlation, the authors predict the approx. heats of formation of the compds., viz., FeF_2 , FeC_2O_4 , $Fe_3(PO_4)_2$, and $FeSO_4 \cdot (NH_4)_2SO_4 \cdot 6H_2O$, from the known value of heat of formation of the analogous bivalent Mn compd. in each case. S. K. Raman

BP-VI-5326

1968

Ситниев 5868
ВР-VI-5326

FeF_2
идр.

3 Б661. Теплоты образования соединений марганца (II) и железа (II). Шидловский А. А. «Ж. физ. химии», 1968, 42, № 6, 1515—1516

Сопоставлены теплоты образования 22 пар соединений двухвалентных Mn и Fe. Показано, что разность в теплотах образования соединений с одним и тем же анионом приблизительно постоянна и равна $15,4 \pm \pm 1$ ккал/экв. С использованием этой разности предсказаны теплоты образования соединений железа (2+): FeF_2 , FeC_2O_4 , $Fe_3(PO_4)_2$ и $Fe(ClO_4)_2 \cdot 6H_2O$. Автореферат

АНФ

+3

2.1969.3



FeF₂

Austin H. E.

1969

J. Phys. and Chem. So-
lids, 30, n 5, 1282

It₂

Требуется еще гидрокси-
добр. переносная. Метал-
лов при высоком доб
серии

(см. CrF₂) I

MnF₂; CoF₂; FeF₂; NiF₂ (Cp) 67 1969

Begum N.A.; Cracknell A.P.; Joshua
S.J.; Reissland J.A.

VI 6963

Car
P/K

Proc. Phys. Soc., London (Solid State
Phys.) 1969, 2 (12), 2329-34.

Spin-wave contribution to the
specific heat of manganese fluo-
ride, iron (II) fluoride, cobalt
fluoride, and ni-
ckel fluoride.

B 8 (9)

CA 1970, 72, N8, 360V7W

ФВ - VI - 7110

1969

FeF₂

11 Б926. Определение границы между парамагнитной и ферромагнитной фазами в FeF₂ по ультразвуковым измерениям. Shapira Y. Paramagnetic to antiferromagnetic phase boundaries of FeF₂ from ultrasonic measurements. «Phys. Letters», 1969, A30, № 7, 388—389 (англ.)

Определены параметры фазового перехода из парамагнитного в антиферромагнитное состояние для FeF₂ (тетрагон. симметрия, структура типа рутила) по поглощению ультразвука в диапазоне 10—50 Мгц в магнитных полях до 200 кэс. Фазовая граница в координатах t -ра $t(T)$ — магнитное поле (H) соответствует уравнению: $T_N - T = AH^2$, где $T_N = 78,35^\circ \text{K}$ — t -ра Нееля, $A = 9,9 \cdot 10^{-11} \text{ } ^\circ\text{K}/\text{гс}^2$ для магнитного поля, параллельного направлению [001] и $A = 2 \cdot 10^{-11} \text{ } ^\circ\text{K}/\text{гс}^2$ для H , параллельного [110].

А. З. Рабинович

X. 1970.11

FeF₂

1970

№3 Б657. Исследование термодинамических свойств фтористого железа методом электродвижущих сил. Вечер Р. А., Рогач Л. М. «Ж. физ. химии», 1970, 44, № 6, 1544—1546

Измерены э. д. с. гальванич. элемента Pt, Mo/Fe, FeF₂/CaF₂/Ni, NiF₂/Mo, Pt в интервале т-р 880—1000° К. Из т-рной зависимости э. д. с. и лит. данных о термодинамич. св-вах NiF₂ найдены след. значения термодинамич. функций для FeF₂: $\Delta G_{298} = -148,8 \pm 1,3$ ккал/моль, $\Delta H^{\circ}_{298} = -159,5 \pm 1,2$ ккал/моль, $\Delta S^{\circ}_{298} = -36,1 \pm 1,2$ э. с. Полученные данные хорошо согласуются с результатами, предсказанными по методу сравнительного расчета термодинамич. величин.

Автореферат

ΔG_{298}

ΔH°_{298}

ΔS_{298}

X. 1970. 23

1970

FeF₂

$$\Delta H^{\circ}$$

$$\Delta S^{\circ}$$

$$\Delta G^{\circ}$$

(70467p) Thermodynamic properties of ferrous fluoride studied by an emf. method. Vecher, R. A.; Rogach, L. M. (Beloruss. Gos. Univ. im. Lenina; Minsk, USSR). *Zh. Fiz. Khim.* 1970, 44 (6), 1544-6 (Russ). FeF₂ was prepd. by melting FeCl₂ with NH₄ fluoride in the air-free atm. at 200°C, followed by purification with abs. EtOH and decompn. of the complex compd. formed by heating at 450°. Emf. (*E*) of the cell Pt, Mo|Fe, FeF₂|CaF₂|Ni, NiF₂|Mo, Pt was measured at the temp. (*T*) 885-1000°K with an accuracy of ±2.6 mV; the following relation was established $E(\text{mV}) = 84.3 + 0.001T$. The values of Gibbs free energy $\Delta G^{\circ} = -1.97 \pm 0.06$ kcal/mole, enthalpy $\Delta H^{\circ} = 1.9 \pm 0.6$ kcal/mole, and entropy $\Delta S^{\circ} = 0.03 \pm 0.6$ cal/degree-mole were established for the reaction $\frac{1}{2}\text{Fe} + \frac{1}{2}\text{NiF}_2 \rightleftharpoons \frac{1}{2}\text{FeF}_2 + \frac{1}{2}\text{Ni}$ at 943°K. For FeF₂ the following std. values at 298°K were calcd.: $\Delta H^{\circ} = -159.5 \pm 1.2$ kcal/mole, $\Delta S^{\circ} = -36.1 \pm 1.2$ cal/mole-degree, and $\Delta G^{\circ} = -148.8 \pm 1.3$ kcal/mole.

L. Kuca

C.A. 1970. 73. 14

PeF₂

Lumsden J.

1970

Shelton R.A. J.
Hayman C.

document 1625

" Second Meeting of Technical
Working Group on High-Temp
and Metallurgical Thermo-
dynamics. Held at NPL
April 9th, 10th
1970

F_2F_2
 F_2F_3

Caiola G., Guy H., Sohn J.C.

1978

Entropie 1978, 40, 24-34

(S
H-H)

• See $V F_3$; I

FeF₂

JAN 11

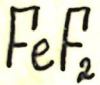
1971

(Crystal) 100-2000°K $\bar{\Gamma}$ reg 9

(Liquid) 100-3000°K

(1965)

1971



Petrov, S. V.; ~~et al.~~

Умножител Е.Г., Сержанов Д.П.

„Изв. Akad. Nauk SSSR, Fiz“

1971, 35, N 6, 1256-8.

exp-5996-vii
m-9665-d8
(Tm)

$T_m = 940 \pm 6^\circ C$ (см. \longrightarrow)

● (см. $AlnF_2, \bar{I}$)

Для FeF_2 получено предварительное
значение

$T_m = 940 \pm 6^\circ\text{C}$, позднее в
работе [72 гук/ипп] уточнено:

$$T_m = 950 \pm 5^\circ\text{C}$$

HeF_2

Shapira I.

1971

J. Appl. Phys.,

1971, 42, 24, 1588.

T_{24}

(See HeF_2) I

Fefal

1972

Беругов А.А.

д/д

— Купон. гос. уч. уч.

1972, 4б, с. 1630-31

1972

FeF₂

39882d Specific heat and sound velocity of iron(II) fluoride. Salamon, M. B.; Ikushima, A. (Dep. Phys., Univ. Illinois, Urbana, Ill.). *AIP (Amer. Inst. Phys.) Conf. Proc.* 1972, No. 5(Pt. 2), 1269-73 (Eng). The sp. heat of anisotropic antiferromagnetic FeF₂, measured by an a.c. method, agrees with the predictions of the 3-dimensional Ising model. An abrupt decrease below T_N was noted, rather than the usual rounding. Comparison of sp. heat with acoustic data gives results at variance with existing theories.

R. S. Khare

(cp)

C.A. 1972-77.6

ВФ-ХVI-509

1972

FeF₂

✓ 9 В11. Исследование некоторых физико-химических свойств дифторида железа. Циклаури Ц. Г., Ипполитов Е. Г., Жигарновский Б. М. «Сакартвелос ССР, Мецниеребата Академის მოამბე, Сообщ. АН ГрузССР», 1972, 65, № 1, 61—64 (рез. груз., англ.)

Синтезирован FeF₂ (I) и изучены его нек-рые физ.-хим. св-ва. Для I т. пл. 950±5°. При нагревании на воздухе I поглощает кислород, к-рый включается в крист. решетку с образованием тв. р-ра типа рутила. Выше 840° тв. р-р плавится и I окисляется по следующей схеме: $2I + O = FeOF + FeF_3$. При 1200° происходит пиролиз, продуктов окисления с образованием Fe₃O₄ или др. окислов железа.

Автореферат

T_m = 950°C ± 5°

РЖХ, 1972, № 9

Bp - XVI - 501

1972

FeF₂

T_m

104900d Physicochemical properties of iron difluoride. Tsiklauri, Ts. G.; Ippolitov, E. G.; Zhigarnovskii, B. M. (Inst. Obshch. Neorg. Khim. im. Kurnakova, Moscow, USSR). *Sobshch. Akad. Nauk Gruz. SSR* 1972, 65(1), 61-4 (Russ). A simple method of prep. FeF₂ is discussed. The unit-cell parameters, m.p., n at 589 nm, d., and molar refraction were measured. Chem. anal., x-ray diffraction studies at elevated temps.; and DTA up to 1200° show that O enters into the crystal lattice upon heating FeF₂ in air at 500° forming a solid soln. of rutile-type structure. Upon further heating, the solid soln. melts at 820° with the probable formation of FeOF and FeF₃, and at 1200° pyrohydrolysis of these products causes the formation of Fe₃O₄ and other oxides. Arun P. Kulshreshtha

X.H. 1972. Feb. 18

FeF₂

1972

Skelton W.H.Jr.

ΔG

Diss. Abstr. Int, B I972, 32(10), 5769.

● (see. CuF₃ ; I)

FeCl₂ (pachmal)

1972-

159118k Thermodynamics of reactions of ferrous and ferric chlorides in a medium of fused chlorides of alkali metals. Smirnov, M. V.; Loginov, N. A.; Pokrovskii, A. V. (Inst. Elektrokhim., Sverdlovsk, USSR). *Zh. Prikl. Khim. (Leningrad)* 1972, 45(2), 423-5 (Russ). Equil. consts. of the reaction $2\text{FeCl}_3(\text{melt}) + \text{Fe}(\text{s}) = 3\text{FeCl}_2(\text{melt})$, proceeding in molten NaCl, NaCl-KCl, KCl, and (or) CsCl, were measured. At 1100°K, in the presence of NaCl and (or) CsCl, in the melt contg. 1 mole % Fe, the fraction of FeCl₂ was 2.3×10^{-7} and 1.5×10^{-7} , resp. M. Doklady Akad. Nauk SSSR, 1972, 233, 103-105.

K_p

C.A. 1972. 76. 26

FeF₂

1973

Barin J., et al

298-1373(sol)

1373-2110(liq) Knauer I, comp. 277

● (cu AgF)I

FeF₂

(OM: 21766)

1973

Skelton W. H., Patterson
J. W.,

J. Less-Common Me-
tals, 1973, 31, N1,
47-60.

Kp, ΔFH,
ZAC

FeF_2

ВФР-8621-X

1974

11-E1024. Теплоемкость FeF_2 вблизи антиферромагнитного перехода. Ahlers Guenter, Kornblit Avinoam, Salamon Myron B. Heat capacity of FeF_2 near the antiferromagnetic transition. «Phys. Rev. B: Solid State», 1974, 9, № 9, 395—3934 (англ.)

Путем измерения теплоемкости FeF_2 вблизи т-ры антиферромагн. перехода получены значения для критич. показателей теплоемкости $\alpha-\alpha'=0,157\pm 0,02$ и для отношения амплитуд $C_p A/A'=0,53\pm 0,05$ выше и ниже точки Нееля. Эти значения близки к величинам критич. параметров для жидкого газа, но существенно отличаются от данных для изотропного антиферромагнетика RbMnF_3 . Это объясняется тем, что в FeF_2 параметр упорядочения имеет одну степень свободы, так же как и в жидком газе, а в RbMnF_3 — три степени.

А. С. Андреевко

(Cp)

ВФР-111-2030

ф. 1974 N 11

ВФ - 8621 - X

1974

22 Б791. Теплоемкость FeF_2 в окрестности антиферромагнитного превращения. Ahlers Guenter, Kornblit Avinoam, Salamon Myron B. Heat capacity of FeF_2 near the antiferromagnetic transition. «Phys. Rev. B: Solid State», 1974, 9, № 9, 3932—3934 (англ.)

Известные лит. эксперим. данные по теплоемкости FeF_2 в окрестности антиферромагнитного превращения обработаны с использованием ур-ния $C_p = (A/\alpha) (|t| - \alpha - 1) (1 + D/|t|/\alpha) + B + Et$ (1), в к-ром $t = T/T_c - 1$ (T_c — т-ра превращения), а A, B, D, E — константы. Табулированы величины констант ур-ния (1) для интервала т-р $-0,1 \leq t \leq 0,05$, причем при $t < 0$ константы обозначены со штрихом (A', B', D' и т. д.). Эксперим. результаты удовлетворяют ур-нию (1) в 7-параметровой системе

FeF_2
Ж.м. Дашин
нет,
только
(ср)
обработка
Дашин
Металло

ВФ - 8621 - X

ж. 1974. N 22

при значениях параметров $\alpha = \alpha' = 0,157 \pm 0,016$, $A/A' = 0,528 \pm 0,049$, $A' = 0,684 \pm 0,054$, $(B - A/\alpha) = 2,72 \pm 0,55$, $(B' - A'/\alpha') = 4,03 \pm 0,95$, $T_c = T_c' = 78,257 \pm 0,07$, $E = E' = 13,0 \pm 1,2$, $D = D' = 0$. Отмечено, что параметры ур-ния (1) в значит. степени отличаются от таковых для антиферромагнетика $RbMnF_3$, что объяснено изотропностью последнего. С др. стороны, крит. экспонента α и отношение амплитуд A/A' для FeF_2 согласуются с параметрами фазовых переходов газ—жидкость, что подтверждает универсальность матем. описания крит. явления любого рода.

П. М. Чукуров

Fe F₂

1974

Letterst F. J.
Kalvius G. M.

(F₂)

J. Phys (Paris) Collog
1974 (6) 403-6 (Eng)

(see Fe Cl₂; I)

Om 20779

1974

FeF₂FeF₃

(ср: дн)

9 16 Б749. Калориметрическое исследование реакции $\text{FeF}_3 + \text{Fe}$ и измерение молярной теплоемкости фторидов двух- и трехвалентного железа в интервале 200—400°. Macheteau Y., Barberi P. Etude par calorimétrie de la réaction $\text{FeF}_3 + \text{Fe}$ et mesure de la capacité calorifique molaire des fluorures ferreux et ferrique dans le domaine de température compris entre 200 et 400° C. «Bull. Soc. chim. France», 1974, № 1—2, part. 1, 34—36, VIII (франц.; рез. англ.)

С помощью проточного дифференциального микрокалориметра измерены теплоемкости фторидов железа при 200, 300 и 400°; они составили $18,5 \pm 0,3$, $19,5 \pm 0,3$ и $20,5 \pm 0,4$ (FeF₂) и $24,6 \pm 0,4$, $25,9 \pm 0,5$ и $26,9 \pm 0,5$ кал/град·моль (FeF₃) соотв. Калориметрически исследована р-ция $2 \text{FeF}_3 + \text{Fe} = 3 \text{FeF}_2$ в интервале 200—650° и определена энтальпия этого процесса $\Delta H_{298} = 19 \pm 1$ ккал/моль FeF₃. С использованием лит. данных рассчитаны изменения энтальпии и энтропии при 25, 200, 300 и 400°, а также равновесные давл. фтора при 25, 200, 300, 400, 600, 800 и 1000° для процессов $2 \text{FeF}_3 = 2 \text{FeF}_2 + \text{F}_2$; $\text{FeF}_2 = \text{Fe} + \text{F}_2$; $2 \text{FeF}_3 = 2 \text{Fe} + 3 \text{F}_2$. П. М. Чукуров

И. 1974
N 16

XU-9004

1975

FeF₂

CoF₂

NiF₂

(ΔG_f^o)

145958w Standard free energies of formation of metal fluorides by the solid electrolytic galvanic cell method. I. Metal difluorides. Chattopadhyay, G.; Karkhanavala, M. D.; Chandrasekharaiah, M. S. (Chem. Div., Bhabha At. Res. Cent., Bombay, India). *J. Electrochem. Soc.* 1975, 122(3), 325-7 (Eng). Measurements of ΔG^o_f of FeF₂ [7789-28-8], CoF₂ [10026-17-2], and NiF₂ [10028-18-9] employing single crystals of CaF₂ as the solid electrolyte are presented. From the emf. data between 850° and 1050°K, the ΔG^o_f for the reactions were calcd.: Fe + NiF₂ = Ni + FeF₂, ΔG^o_f/cal = 11642 - 6.734T ± 100; Fe + CoF₂ = Co + FeF₂, ΔG^o_f/cal = 8704 - 2.952T ± 100; Co + NiF₂ = CoF₂ + Ni, ΔG^o_f/cal = 2463 - 4.059T ± 100. Combining these results with literature data, values of fΔG^o_f were calcd.: fΔG^o_f(NiF₂)/cal mole⁻¹ = 156079 + 36.33T ± 500, fΔG^o_f(CoF₂)/cal mole⁻¹ = 158542 + 32.27T ± 600, and fΔG^o_f(FeF₂)/cal mole⁻¹ = -167721 + 29.30T ± 600.

C.A. 1975. S.S. NDA

(+2) [X]

(enr. NiF₂, I)

FeF₂

Litterst

1975

89955z Susceptibility of noncrystalline ferromagnetic iron(II)-fluoride. Litterst, F. J. (Phys. Dep., Tech. Univ. Muenchen, Garching, Ger.). *J. Phys. (Paris), Lett.* 1975, 36(7-8), 197-9 (Eng). -In the temp. range $150^{\circ} \text{K} > T > 25^{\circ} \text{K}$ the magnetic susceptibility of noncrystalline FeF₂ can be described by a Curie-Weiss law. A paramagnetic Curie temp. of $(22 \pm 1)^{\circ} \text{K}$ and an effective moment of $(5.2 \pm 0.1) \mu\text{B}$ are found. Temp. and field dependence of the magnetization at 15-20.5° K indicate superparamagnetic behavior. At lower temps. the magnetization shows hysteresis and a slightly time dependent remanence. The observation of moments which approach 4 $\mu\text{B}/\text{Fe}^{2+}$ implies that the ordered state is ferromagnetic.

(T_{Curie})

$$T_C = 22 \text{ K}$$

C.A. 1975, 83 n10

$F_1 F_2$

1975

Peisakhovich Yu. G.

(T. Ned)

Pis'ma Zh. Eksp. Teor.

Fiz. 1975, 22(10) 506-10
(Russ)

(see also F_2 ; I)

FeF₂

FeF₃

$\Delta G_f, \Delta H_f$

(+)

X

X1976 N 21

21 Б707. Свободные энергии образования фторидов железа(2+) и (3+), определенные методом э. д. с. Schaefer Seth C. Free energies of formation of ferrous and ferric fluoride by electromotive force measurements. «Rept Invest. Bur. Mines. U. S. Dep. Inter.», 1975, № 8096, 14 pp., ill. (англ.)

Методом э. д. с. с использованием тв. электролита CaF₂, допированного YF₃, определены свободные энергии образования FeF₂ (I) и FeF₃ (II). Использовались гальванические цепи Fe, FeF₂||CaF₂||NiF₂, Ni (897—1098°K) и MgO, MgF₂||CaF₂||FeF₃, Fe₂O₃ (880—935°K). Получены ΔG (обр., I) = $-168,74 + 30,63 \cdot 10^{-3} T \pm \pm 0,41$ ккал/моль и ΔG (обр., II) = $-281,45 + 90,46 \cdot 10^{-3} T \pm \pm 0,67$ ккал/моль. Отсутствие взаимодействия между составляющими электродов показано методом рентгенофазового анализа. Вычислены ΔG и $P(F_2)$ р-ций диссоциации $FeF_2 = Fe + F_2$ и $2FeF_3 = 2FeF_2 + F_2$ в исследованном интервале т-р. По 3-му закону вычислены ΔH (обр., 298 K, I) = $-170,9$ ккал/моль и ΔH (обр., 298 K, II) = $-248,4$ ккал/моль. Проведено сопоставление с имеющимися термодим. данными по I и II и показано, что использованным методом достигнута высокая точность результатов.

Л. Резницкий

FeF₂

summary 9510 1975

FeF₃

D84: 127437n Free energies of formation of ferrous and ferric fluoride by electromotive force measurements. Schaefer, Seth C. (Albany Metall. Res. Cent., Bur. Mines, Albany, Oreg.). U. S., Bur. Mines, Rep. Invest. 1975, RI 8096, 14 pp. (Eng). The std. free energies of formation ΔG°_f were detd of FeF₂ [7789-28-8] and FeF₃ [7783-50-8] by using high temp. galvanic cells employing CaF₂ doped with 1 mole % YF₃ as the electrolyte. The emf. data of the cells combined with the literature data gave the ΔG°_f values $(-168.74 + 30.63 \times 10^{-3}T \pm 0.41)$ kcal/mole at 897-1098°K for FeF₂, and $(-281.45 + 90.46 \times 10^{-3}T \pm 0.67)$ kcal/mole at 880-935°K for FeF₃.

(ΔG°_f)

(on FeF₂, I)

C.A. 1976 84 v18

FeF₂

1975

Zhuravleva G.V., et al.

Teziy Dokl. - Bee. Urad.
sovetov. xud. komin. sovetov
soyuz. 12th. 1975, 1, 109-10.

(p, s, H,
Δ, Σ, quce)

(see NaF) T

XVI 2838

1976

FeF₂

11 Б818. Зависимость температуры Нееля FeF₂ от давления. Garcia G. A., Ingalls R. The pressure dependence of the Néel temperature in FeF₂. «J. Phys. and Chem. Solids», 1976, 37, № 2, 211—213 (англ.)

(T_N)

Описана установка, позволяющая измерять мессбауэровские спектры при высоких давлениях. С помощью этой установки изучена зависимость т-ры Нееля (T_N) для FeF₂, имеющего структуру рутила. Установлено, что T_N, равная 78° К при нормальном давл., в области давл. вплоть до p=50 кбар растет линейно с p со скоростью 0,27±0,3° К/кбар. Зависимость T_N от объема V подчиняется закону $\gamma_m = -d \ln T_N / d \ln V = 3,2 \pm 0,3$. Отмечено, что эксперим. величина γ_m близка к значению 10/3, эмпирически найденному Блохом для широкого круга антиферромагнетиков с косвенным обменом. В рамках теории сверхобмена обсуждаются механизмы, приводящие к обнаруженной зависимости.

Ю. В. Ракитин

ж 1976 N 11

FeF₂

XV-2838

1976

(T_N)

84: 83351y Pressure dependence of the Neel temperature in iron fluoride (FeF₂). Garcia, G. A.; Ingalls, R. (Dep. Phys., Univ. Washington, Seattle, Wash.). *J. Phys. Chem. Solids* 1976, 37(2), 211-13 (Eng). The Moessbauer effect thermal scan method was used to det. the Neel temp. (T_N) in FeF₂ at 0-50 kbar. T_N increased at 0.27°K/kbar. The results obey the 10/3 rule of Bloch for a variety of antiferromagnetic insulators.

C.A. 1976 84 N 12

Fe Fe

* 76 КОЛ

1976

АН

Косможанова Л. Ч.

Вторереран гис...
кад. Хелер. Кесура Мо)
АН Ч. 1976, ~~с. 19.~~

FeF₂

1976

(T+V) 85: 151172p Spectral observation of the phase transition in iron-fluoride induced by a strong magnetic field. Litvinenko, Yu. G.; Shapiro, V. V. (Fiz.-Tekh. Inst. Nizk. Temp., Kharkov, USSR), *Fiz. Nizk. Temp. (Kiev)* 1976, 2(2), 233-5 (Russ). A splitting of the exciton-magnon absorption band at 24,294 cm⁻¹ in FeF₂ was obsd. in an external magnetic field at 14°K. At $H < 220$ kOe and the H direction parallel to the C_4 axis of the crystal, sym. doublet splitting was obsd. which was linearly dependent on H . For $H > 220$ kOe the linear dependence breaks down which was assigned to a 2nd-order magnetic phase transition. The angles between the H direction (C_4) and the magnetic moments of the 2 sublattices were detd. to be 23 and -127° at $H = 330$ kOe. P. Carsky

G. A. 1976. 85 N20

FeF_3

Narijalo

1976

24 Б668. Магнитная восприимчивость фторида трехвалентного железа в области температуры Нееля. Narijalo M. Lj., Sreckovic A., Movackovic L. Magnetic susceptibility of ferric fluoride near the neel temperature. «Fizika», 1976, 8, Suppl., 149—151 (англ.)

В области т-ры Нееля исследована статич. магнитная восприимчивость (МВ) поликрист. образцов слабого ферромагнетина FeF_3 98% чистоты, кристаллизующегося в ромбич. сингонии (ф. гр. D_{3d}^6 , $Z=2$), причем ионы Fe^{3+} координированы с ионами фтора по октаэдру. Измерения выполнены методом Гуи в магнитных полях напряженностью 2, 3, 4, 5 и 7 кгс. Точность измерения т-ры и ее стабильность вдоль образца составляли не менее $0,1^\circ K$. Точки Нееля определялись по положению перегиба на эксперим. кривых МВ, снятых при 5 значениях напряженности внешнего магнитного поля. Отмечено, что вид кривых МВ вблизи точки Нееля со-

$T_{nc} =$

$= 364,8 \pm 0,2$

K

20. 1977 N 24

ответствует диффузному магнитному фазовому переходу, что согласуется с лит. данными, полученными др. методами. Установлено, что т-ра Нееля FeF_3 в исследованном интервале полей не зависит от напряженности внешнего магнитного поля и составляет $T_N = (364,8 \pm 0,2)^\circ \text{K}$. По зависимости МВ $\chi \sim (1 - T/T_N)^\beta = \epsilon^\beta$ в окрестности т-ры Нееля $0,00285 < \epsilon < 0,0285$ определена зависимость крит. индекса β от напряженности внешнего магнитного поля H . Установлено, что при $H = 2$ кгс $\beta = 0,337$ и убывает до $0,220$ при $H = 7$ кгс. Значение β , экстраполированное к $H = 0$ составляет $0,384$. Отмечено, что полученные в данной работе T_N и β хорошо согласуются с их значениями, найденными др. методами.

Ю. В. Ракитин



Fe F₂

Fe F₃

Den n 122

1976

Муравьева Л. В. и др.

Рун. ден. БУММММ

но. гонг. жерел.

N 459-76 Den

(P, ΔHs)

F₂ F₂

1977

Burylov B.P.

Zh. Fiz. Khim 1977, 51(7),
1765-8 (Russ)

(P)



(ev. Mg F₂; I)

FeF2 (k)

1974

Купа брета N.B.

45A - Обмерен. гуч...

катг. реко. и елфк,

N.; N24, 1974

FeF_2

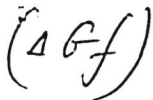
Koga Yochikata

1978

Collect. Phenom., 1978, 3, n^o 1, 1-8.

(Cp) - Теоретич. обработка измеренных
эксп. данных.

(сери. UInFe_2) I



(+1) 14

2, 1978, N16

1978

16 Б951. Термодинамические свойства фторида железа (II) FeF_2 и трифторферрата (II) натрия NaFeF_3 . Петров Г. С., Вечер Р. А., Вечер А. А. «Ж. физ. химии», 1978, 52, № 4, 1082—1084

Из измерений э. д. с. гальванич. элементов с тв. F-ионным электролитом $\text{Mo}|\text{Fe}, \text{FeF}_2|\text{CaF}_2|\text{CoF}_2, \text{Co}|\text{Mo}, \text{Mo}|\text{Fe}, \text{NaFeF}_3, \text{NaF}|\text{CaF}_2|\text{FeF}_2, \text{Fe}|\text{Mo}$, получены термодинамич. характеристики потенциалобразующих



$$\Delta G_1 \quad (\text{ккал/моль}) = -9,55 - 2,02 \cdot 10^{-3} T \pm [1,6 \cdot 10^{-3} +$$

$$+0,017 \cdot 10^{-3} (T-947,5)^2]^{1/2}, \Delta G_2 \text{ (ккал/моль)} = 1,84 -$$

$$-6,32 \cdot 10^{-3} T \pm [2,43 \cdot 10^{-3} + 1,29 \cdot 10^{-6} (T-894,6)^2]^{1/2}.$$

С использованием лит. данных рассчитаны станд. энергии Гиббса образования FeF_2 и NaFeF_3 : ΔG_{298}^0

$$\text{FeF}_2 \text{ (ккал/моль)} = -170,2 (\pm 1,2) + 34,6 (\pm 1,4) \cdot 10^{-3} T,$$

$$\Delta G_{298}^0 \text{ NaFeF}_3 \text{ (ккал/моль)} = -305,9 (\pm 1,6) + 52,5$$

$$(\pm 1,8) \cdot 10^{-3} T.$$

Автореферат

FeF₂

1978

89: 66314z Thermodynamic properties of iron(II) fluoride FeF₂ and sodium trifluoroferrate(II) NaFeF₃. Petrov, G. S.; Vecher, R. A.; Vecher, A. A. (Beloruss. Gos. Univ., Minsk, USSR). *Zh. Fiz. Khim.* 1978, 52(4), 1082-4 (Russ). The thermodyn. of the reactions $Fe + CoF_2 = FeF_2 + Co$ and $NaF + FeF_2 = NaFeF_3$ were calcd. from the emfs. of cells contg. the solid electrolyte CaF₂ at 887-996 and 826-965 K, resp. Free energies of formation of FeF₂ and NaFeF₃ were estd. K. Volka

(ΔH_f)

④ NaFeF₃
⊗

C. A. 1978, 29, NP

Fe Fe₂

1948

Trooster y. et al.

сравнительный
переход "Hyperfine Interact" 1948,
4, N1-2, 457-459 (англ.)

см. Fe Y₂ - III

FeF₂(7.9с.)

1979

термодинамические
св-ва

Отчет «Комплексное исследование термодинамических свойств и элементарных постоянных», ИТУ, Харьков, 1981 (годовой отчет за 1979г.)

FeF₂

Chirwa

1980

16 B843. Магнитная теплоемкость FeF₂ вблизи температуры Нееля. Chirwa M., Lundgren L., Nordblad P., Beckman O. Magnetic specific heat of FeF₂ near T_N. Proceedings of the International Conference on Magnetism, Munich, 3—7 Sept., 1979. Part 1. «J. Magn. and Magn. Mater.», 1980, 15—18, 457—458 (англ.)

Измерена теплоемкость C_p и магн. восприимчивость χ монокристалла FeF₂ (I) в интервале 68—90 К. Переход от антиферромагнитного в парамагнитное состояние I происходит при T_N=78,39 К. Выделен магнитный вклад в теплоемкость C_M, к-рый описывается ур-нием $C_M/R = A[(T - T_N)^{-\alpha} + B]$ в широкой области т-р слева и справа от T_N с α=0,105, а также ур-нием $C_M/R \approx K \partial(\chi_{||} T) / \partial T$, выведенному Фишером. K — слабо зависящая от т-ры функция. Измерения восприимчивости проведены в полях 0,02 и 0,15. Т. Л. Резницкий

(C_p),
68-90K,

T_N



Оттиск
14256

№ 1980 N 16

FeF₂

1980

9 E370. Магнитная теплоемкость FeF₂ вблизи T_N.
Magnetic specific heat of FeF₂ near T_N. Chirwa M.,
Lundgren L., Nordblad P., Beckman O.
Proceedings of the International Conference of Mag-
netism, Munich, 3—7 Sept., 1979. Part 1.—«J. Magn.
and Magn. Mater.», 1980, 15—18, 457—458 (англ.)

Сообщаются результаты измерения теплоемкости
и параллельной магн. восприимчивости (χ_{\parallel}) (СКВИД-
магнетометр) монокристалла FeF₂ вблизи его т-ры
Нееля T_N = 78,4° К. В интервале $5 \cdot 10^{-5} \leq \frac{T - T_N}{T_N} \leq$

$\leq 1,2 \cdot 10^{-1}$ поведение теплоемкости описывается зависи-

мостью $C_m/R = A \left| \frac{T - T_N}{T_N} \right|^{-\alpha} + B$, где A и B — const;
 $\alpha = 0,15$ для $T > T_N$ и $\alpha' = 0,05$ для $T < T_N$ близки

к величинам, которые предсказываются для трехмерной
изинговской модели. Установлено, что соотношение
Фишера $C_m/R \approx K \partial(\chi_{\parallel} T) / \partial T$ для FeF₂ хорошо выпол-
няется для широкой области т-р в окрестности T_N.

В. И. Соколов

(Cp)

Ум.

14256

Ф. 1980 N 9

FeF₂

Om. 14256

1980

92: 208021q Magnetic specific heat of iron(II) fluoride near T_N . Chirwa, M.; Lundgren, L.; Nordblad, P.; Beckman, O. (Inst. Technol., Uppsala Univ., Uppsala, Swed.). *J. Magn. Mater.* 1980, 15-18(1), 457-8 (Eng). The sp. heat and the parallel magnetic susceptibility χ_{11} of a single crystal of FeF₂ were measured at 68-90 K. The magnetic sp. heat C_m data can be fitted to the equation $C_m/R = A|(T - T_N)|^{-\alpha} + B$, where T is the Neel temp., over a large temp. range. Fisher's relation, $C_m/R \approx K\partial(\chi_{11}T)/\partial T$, is poorly satisfied.

(Cp)

CA 1980 92 N24

1980

 FeF_2 Fe_2P

11 Б665. Магнитная анизотропия и магнитные фазовые переходы в соединениях железа и марганца. Nordblad Per. Magnetic anisotropy and magnetic phase transitions of iron and manganese compounds. «Acta Univ. upsal. Abstrs Uppsala Diss. Fac. Sci.», 1980, № 556, 15 pp., ill. (англ.)

В широком интервале t - p исследованы статич. магнитная восприимчивость, намагниченность, уд. теплоемкость и тепловое расширение ряда соединений железа и марганца: ферромагнитных систем типа сплавов железа с кремнием, простых антиферромагнетиков типа MnF_2 и FeF_2 , ферромагнетиков типа Fe_2P . Описаны методы приготовления образцов и эксперим. исследований. Определены точки перехода исследованных систем в магнитно-упорядоченное состояние. Исследована динамика систем вблизи крит. точки в парамагнитной и магнитно-упорядоченной областях и найдены значения крит. индексов.

Ю. В. Ракитин

 $Cr; Tz$

(+1)X

ж. 1981. № 11

FeF₂(к)

Оммуеку 10079

1980

Резуаата Т.Н. и др.

Омрем ИТУ за 1979.

(ΔHf; ΔGf)

и м. отзор по ΔHf; ΔGf

NiF₂, FeF₂, MnF₂

$\tilde{F} F_2$

1981

Manghnani M. H.,
Skelton E. F. et al.

aperzob. Phys. Solids High Pressure

nyetp. Proc. Int. Symp., Bad Hon

← keem! ref, Aug. 10-14, 1981. Amster
dam e. a., 1981, 47-55.

(ver. MN F_2 ; I)

В FeF_2 до 5 ГПа сразовых переклада
ке обнаружены.

FeF_2

1981

Д 16 Б656. Определение термодинамических свойств фторидов двух- и трехвалентного железа из измерений электродвижущих сил. Schaefer S. C., Gokcen N. A. Thermodynamic properties of ferrous and ferric fluoride by electromotive force measurements. «High Temp. Sci.», 1981, 14, № 3; 153—159 (англ.)

Из измерений э. д. с. гальванич. ячейки с тв. F-ионным электролитом (Ca_2+1 мол. % YF_3) вида Pt, Fe, FeF_2 (I) | CaF_2 | NiF_2 , N, Pt определены ΔG токообразующей твердофазной р-ции $Fe+NiF_2=Ni+I$ в интервале т-р 897,5—1098,7 К. При крайних т-рах значения $-\Delta G$ (обр., I, тв.) составили соотв. 591,3 и 566,1 кДж/моль. В интервале т-р 880,9—934,6 К из измерений э. д. с. ячейки Pt, MgO, $MgF_2|CaF_2|FeF_3$ (II), Fe_2O_3 , Pt определены ΔG р-ции $3MgO+2II=3MgF_2+Fe_2O_3$, из к-рых для образования тв. II при крайних т-рах найдены $-\Delta G=844,7$ и $823,9$ кДж/моль. По 3-му закону для

ΔH_f ;

(H)

FeF_3

X. 1982, 19, N 16.

образования тв. I и II рассчитаны $-\Delta H^0_{298} = 715,5 \pm 0,5$
и $1037,6 \pm 3,6$ кДж/моль. Пред. измерения э. д. с. ячей-
ки Al, AlF₃|CaF₂|NiF₂, Ni дали ΔG (обр., NiF₂, 900 К) =
= $-517 \pm 0,8$ кДж/моль (лит. калориметрич. значение
 $-517,3 \pm 1,7$ кДж/моль). Попытки измерений э. д. с.
ячейки Ni, Pt, I, II|CaF₂|NiF₂, Ni, Pt, Ni не дали вос-
производимых результатов. А. С. Гүзей

$\text{FeF}_2(\text{K}, 2)$

1981

$\Delta_f G$;

96:130797h Thermodynamic properties of ferrous and ferric fluoride by electromotive force measurements. Schaefer, S. C.; Gokcen, N. A. (Albany Res. Cent., Bur. Mines, Albany, OR 97321 USA). *High Temp. Sci.* 1981, 14(3), 153-9 (Eng). The std. free energies of formation, were detd. for solid FeF_2 and FeF_3 [7789-28-8] and FeF_3 [7783-50-8] with high-temp. galvanic cells by CaF_2 doped with 1 mol% Y fluoride as the electrolyte. The std. heat of formation at 298.15 K, was obtained for each compd. by the 3rd-law method.

FeF_3 ($\Delta_f G$)

C.A. 1982, 96, N16

FeF₂

1982

3 E806. Упругие константы FeF₂ между 1,5 и 298 К.
Elastic constants of FeF₂ between 1.5 and 298 K.
Wu A. Y., Sladek R. J., Feigelson R. S. «Phys. Rev. B: Condens. Matter», 1982, 26, № 4, 1507—1511 (англ.)

Методом наложения импульсов проведены УЗ-измерения монокристаллов FeF₂ (пр. гр. P4₂/mm) на частоте 30 МГц в интервале т-р от 298 до 1,5 К. Определены скорости звука и вычислены упругие постоянные C₁₁, C₁₂, C₁₃, C₃₃, C₄₄ и C₆₆. Помимо γ-типа аномалии для продольной скорости звука вблизи т-ры Нееля (78,4 К) обнаружено смягчение (C₁₁—C₁₂)/2 во всем интервале т-р, а также смягчение C₄₄ ниже 90 К. Предполагается, что поведение (C₁₁—C₁₂)/2 обусловлено проявлением решеточной неустойчивости, а в изменение C₄₄ существенный вклад вносят внутренние напряжения. Определена т-ра Дебая при 1,5 К, равная 411±5 К. Библи. 21.

Е. Дудник

Di

Фр. 1983, 18, N3

Om. 19334

1984

Fe₂

Capacitance measurement of
magnetic specific heat

King A.R., Belanger D.F.
et al.,

Op,

J. Appl. Phys., 1984, 55,
N6, Pt 2B: Proc. 29th
Annu. ● Conf. Magn. and
Magn. Mater., Pittsburgh,

Pa, 8-11 Nov., 1983 B, 2410-2412

Данные по $G_p(\text{FeF}_2)$ представлены в
справочных данных: $\frac{1}{C_1} \frac{dC_1}{dt}$ (K^{-1})

$$T_W = 78,431\text{K}$$

$$T_V = 78,3918$$

FeF_2 , FeF_3

1984

Нефедов В. И., Веремеенко М. Д., Аленчикова И. Ф.
Рентгеноэлектронное исследование фторидов железа.
Журн. неорганич. химии, 1984, т. 29, вып. 9,
с. 2422—2424.
Библиогр.: 5 назв.

— — 1. Железо, фториды — Рентгеноэлектронные исследования.

№ 132291
14 № 9223
ВКП 28.11.84

УДК 546.161 : 543.422

18.5

FeF_2 (x, u)

1984

Pankratz L. B.,

m.p.

298.15

1800K

U. S. Bureau of
Mines, Bull. 674, P. 235.

235

FeF₂

1984

Souche Y., Vergne R., et al.

Therm. Expans. 8. Proc. 8

меревер.

Int. Expans Symp, Gait-

расширени.

kersburg, Aug, June 15-17,

1981. New York; London,

1984, 259-267.

(cu. Gd Nis; I)

1985
FeF₂⁻ (2) Тороцевский А. Г.,
Автореферат диссертации
на соискание ученой степени
К. х. Н., Москва, 1985.

Кр, ДТН⁰ Цикло-молекулярные равновесия с участием отрицательных ионов в высших орбиталей молекулы при мануле газа в фторозном мюле ялелю.

FeF₂(17) (Om. 22884) 22804/1985

Торщевский А. Я., Сидоров
Л. Н., Волоткина О. В.,

Докл. АН СССР, 1985, 285,
№ 2, 377-381.

Кр, А+Н,

FeF₂(2)

Ом. 22864

1985

Торохов Л. Н., Ручков Л. Ю.,
Ходяев Ю. С.,

Ж. физ. химии, 1985, 59,
N 12, 2939-2943.

Б. Н.

1985

$FeF_2(K)$

Петров С.С.,

Автореферат диссертации
на соискание ученой степени
к.х.н., Минск, 1985.

$Kr, 79c,$

$B+B, A+H,$

$A+Z;$

FeF_2

1985

Khodeyer Yu. S.,
Ryzhov M. Yu.

Adv. Mass Spectrom., 1985.
10th Int. Conf., Swansea,
9-13 Sept., 1985. Pt B. Chi-
chester, 1986, 1027-1028.

ΔH ;

(see FeF ; I)

FeF₂

1985

103: 204066f Equation of state and phase transition studies under in situ high P-T conditions using synchrotron radiation. Manghnani, Murli H.; Ming, Li Chung; Balogh, John; Qadri, Syed B.; Skelton, Earl F.; Schiferl, David (Hawaii Inst. Geophys., Univ. Hawaii, Honolulu, HI 96822 USA). *Solid State Phys. Pressure: Recent Adv. Anvil Devices* 1985, 343-50 (Eng). Edited by Minomura, Shigeru. KTK Sci. Publ.: Tokyo, Japan. IN situ-pressure (P)-vol.-temp. (T) measurements on MgO and Au, and phase transition studies in FeF₂ and Fe were made, using the diamond-anvil cell, energy-dispersive x-ray diffraction, and synchrotron radiation to 20 GPa and 700 K. A discrepancy exists between the pressure values from MgO and Au data ($P_{MgO} < P_{Au}$). The dT/dP slope for the transition FeF₂(I) \rightleftharpoons FeF₂(II) is $-148^\circ/\text{GPa}$; the kinetics fit the Avrami equation. The slope of the α - ϵ phase boundary in Fe is $-178^\circ/\text{GPa}$.

прав.
переход
под давлением

c. A. 1985, 103, N 24

FeF₂(к, л) [От. 22303] 1986

FeF₂(П) Аристова Н. М., Берман Г. А.,
Вейц И. В. и др.,

термоо. ВИНИТИ Деп. № 557-586,
св-ва Москва, 1986.

Термодинамич. свойства
железа и ● его соединений.

FeF₂(n)

[От. 22303]

1986

Аристова Н.М., Берман Г.А.,
Вейсц У.В. и др.,

термоф.
св-ва

ВИНИТИ Дек. N 557-1586,
Москва, 1986.

Термодинамиз. свойства
железа ● и его соединений.

Fel₂

(DM. 25094)

1986

Kuberkar D. G., Bichile
G. K.

Q2; Indian J. Pure and
Appl. Phys., 1986, 24,
150 - 151.
(Cur. ZnFe₂^{N₃} ● I)

FeF₂(2)

1986

Рыжов М. Ю., Родеев Ю. С.,

XI Всесоюзная конференция
по координатной и систем-
ческой термодинамике,
Новосибирск, 1986. Тезисы
докладов, ч. I, 3-4, 132-133.

Kp, ΔfH;

FeF₂ (2) Сидоров Л.Н., Борщев-
ский Л.Я. 1986

Исследование структуры и
энергетики молекул.

Kp, ΔzH;

Межвузовский сборник науч-
ных трудов Ивановского химико-
технологического институ-
та, ● Иваново, 1986,
98-113. (есть в картотеке)

1986

FeF_2, FeF_3
 FeF_3^-, FeF_4^-
 $Fe_2F_5^-, Fe_2F_6^-$
 $Fe_2F_7^-$ (2)

кр;

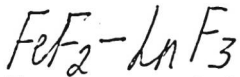
8 Б3052. Сродство к электрону фторидов железа и их димеров в газовой фазе. Electron affinities of gaseous iron fluorides and dimers. Sidorov L. N., Borshchey-sky A. Ya., Boltalina O. V., Sorokin I. D., Skokan E. V. «Int. J. Mass Spectrom. and Ion Process.», 1986, 73, № 1—2, 1—11 (англ.)

С помощью масс-спектрометра, предназначенного для исследования как ионно-молек. равновесий, так и эффузии нейтральных молекул, измерены константы равновесия след. газофазных р-ций: $FeF_2 + FeF_4^- = FeF_3 + FeF_3^-$ (1), $FeF_2 + FeF_3^- = Fe_2F_5^-$ (2), $FeF_2 + FeF_4^- = Fe_2F_6^-$ (3) и $Fe_2F_5^- + Fe_2F_7^- = 2Fe_2F_6^-$ (4). По 3-му закону найдены $\Delta_r H^\circ(0) = 92,7 \pm 11$, $-210,9 \pm 21$, $-188,7 \pm 21$ и $-23,9 \pm 21$ кДж/моль (1)—(4) соотв. С привлечением лит. данных рассчитаны $-\Delta_r H^\circ(0)$ ионов FeF_3^- , FeF_4^- , $Fe_2F_5^-$, $Fe_2F_6^-$ и $Fe_2F_7^-$ в газовой фазе: 1069 ± 21 , 1423 ± 18 , 1740 ± 43 , 2071 ± 38 и 2379 ± 37 кДж/моль. Оценена $\Delta_r H^\circ(0)$ газофазной р-ции $FeF_2 + FeF_3 = Fe_2F_5$: -194 ± 30 кДж/моль. Вычислены величины сродства к электрону молекул FeF_2 , FeF_3 , Fe_2F_5 и Fe_2F_6 соотв.: $\leq 2,7$; $3,62 \pm 0,13$; $3,8 \pm 0,4$ и $4,45 \pm 0,24$ эВ.

В. В. Чепик

X. 1987, 19, N8

1987


$$\text{Ln} = \text{Nd, Gd, Ho, Lu}$$

④

108: 82900d Phase diagram of iron difluoride-lanthanide tri-
 fluoride systems (lanthanide = neodymium, gadolinium, holmium,
 lutetium). Kuznetsova, N. I.; Ikranii, D. D.; Balashova, O. I.;
 Sidorov, V. S. (Inst. Khim. im. Nikitina, USSR). *Zh. Neorg. Khim.*
 1957, 32(11), 2794-6 (Russ). The $\text{FeF}_2 - \text{LnF}_3$ (Ln = Nd, Gd, Ho,
 Lu) systems were studied by Moessbauer spectroscopy, crystal-optical,
 DTA, and x-ray phase anal. methods. These systems are eutectic
 type with limited regions of solid solns. based on the end components.
 An invariant equil. was obsd. in the $\text{FeF}_2 - \text{LuF}_3$ system corresponding
 to peritectic decompn. of FeLuF_5 at 878° . Published results for
 $\text{LuF}_2 - \text{LnF}_3$ systems can be used to predict eutectic compns. for
 $\text{FeF}_2 - \text{LnF}_3$ systems which have not yet been studied.

(раз. групп.)

④

X

1) NdF_3 , 2) GdF_3 , 3) HoF_3 ,4) лютеций $\text{FeF}_2 - \text{LnF}_3$
 $\text{Ln} = \text{Nd, Gd, Ho, Lu}$

C.A. 1988, 108, N 10 -

FeF_2

1988

Бойталева О. В.,
Борщевский А. Я. и др.

До,
ДМ;
Строение и свойства
молекулы. Иваново, 1988. С.
135-146.

(см. ScF₃; I)

FeF_2

1988

21 Б3035. Термохимические величины для газофазных фторидов железа, урана и молибдена и их отрицательных ионов. Thermochemical quantities for gas-phase iron, uranium, and molybdenum fluorides, and their negative ions. Borshchevskii A. Ya., Boltalina O. V., Sorokin I. D., Sidorov L. N. «J. Chem. Thermodyn.», 1988, 20, № 5, 523—537 (англ.)

В масс-спектрометре с ячейкой Кнудсена с помощью комб. ионного источника исследованы газофазные ион-молек. равновесия между фторидами железа, урана и молибдена и соотв. отриц. ионами. На основе термохим. величин, найденных по 3-му закону, и лит. данных вычислены энтальпии образования и сродство к электрону (СЭ). Величины $-\Delta_f H^\circ(g, T \rightarrow 0)$ и СЭ составили для FeF_2 459 ± 19 и ≤ 260 кДж/моль; FeF_3 721 ± 15 (лит. величина, принятая за станд., ЛС) и 349 ± 13 ; FeF_3^- 1069 ± 21 , —, FeF_4^- 1423 ± 18 (ЛС), —;

(Ar, ΔH_f)

(78)

X. 1988, N 21

UF_5 1907 ± 10 (ЛС) и 361 ± 21 ; UF_5^- 2268 ± 22 , —;
 UF_6 —, 488 ± 19 ; UF_6^- 2630 ± 21 , —; MoF_4 945 ± 18 и
 < 220 ; MoF_5 1243 ± 13 и 334 ± 17 ; MoF_6 1551 ± 1 (ЛС)
и 368 ± 18 ; MoF_5^- 1578 ± 23 , —; MoF_6^- 1920 ± 20 , —;
 Mo_2F_9 —, 350 ± 20 ; Mo_2F_{10} —, 362 ± 25 ; Mo_2F_9^- $2726 \pm$
 ± 35 , —; $\text{Mo}_2\text{F}_{10}^-$ 3030 ± 33 , —.

Р. Г. Сагитов

FeF_2

1988

Azad A.M., Sreedha-
ran O.M.

ΔG ,

Trans. SAEST, 1988,

ΔH ;

23, N 1, 45-50.

(cur. CrF_2 ; I)

FeF₂

1989

23 Б2018. Электронная плотность в FeF₂. Charge density of FeF₂ / de Almeida M. J. M., Costa M. M. R., Paixão J. A. // Acta Crystallogr. B.— 1989.— 45, № 6. — С. 549—555.— Англ.

Выполнен РСТА (λ Mo, анизотропный МНК по 170 и 157 отражениям до R 0,010 и 0,012) двух кристаллов FeF₂ (I), СТ рутила. Кристаллы I тетрагон., a 4,7000, c 3,3100 А, Z 2, ρ (выч.) 4,2622, ф. гр. $P4_2/mnm$. Кар-ты разностной электронной плотности I рассчитаны на основе двух моделей — в первой сопоставлена расчетная и наблюдаемая заселенность 3d орбиталей, вторая — модель мультипольных ф-ций. В соответствие с первой моделью наблюдается нек-рое предпочтительное заселение t_{2g} орбиталей Fe с симметрией d_{xy} . Вторая модель указывает на значительное предпочтение $d_{x^2-y^2}$ орбитали. Результаты расчетов согласуются в том, что 3d электроны предпочтительно располагаются в плоскости xy при одновременном обеднении d_{z^2} , d_{xz} и d_{yz} орбиталей.

С. С. Мешалкин

структура

X. 1990, N 23

Fet2

[Om. 32505]

1989

Dow K.E., Belanger D.P.,

(G) Phys. Rev. B 1989, 39,
N7, 4418 - 4423

FeF_2 1989
Khodleyev Yu. S., Ryzhkov M. Yu.

Adv. Mass Spectrom.: Vol.
Kp, Do, 11B. Proc. 11th Int. Mass
 ΔH Spectrom. Conf., Bordeaux,
29 Aug. - 2 Sept., 1988. London,
1989. c. 1126-1127.

(see also $log F; \bar{I}$)

FeF₂

DM 33 400

1989

111: 182086y Critical behavior of epitaxial antiferromagnetic insulators: interdigital capacitance measurement of magnetic specific heat of iron difluoride thin films. Lui, M.; King, A. R.; Jaccarino, V.; Snider, G. L. (Dep. Phys., Univ. California, Santa Barbara, CA 93106 USA). *Phys. Rev. B: Condens. Matter* 1989, 40(7-B), 4898-903 (Eng). The method of fabricating interdigital capacitors was adapted in the development of a technique for the measurement of magnetic specific-heat (C_m) crit. behavior of micron-thick epitaxial films of antiferromagnetic insulators. This interdigital capacitance technique (ICT) was first tested on very carefully polished, bulk FeF₂ surfaces. It was then applied to a study of high-quality 3- μ m epitaxial films of FeF₂ on lattice matching (001)-oriented ZnF₂ substrates.

(p)
тонкой пленки
(не кристалл!)

С.А. 1989, 111, N 20

FeF_2

1989

13 В19. Новые пути синтеза дифторидов MF_2 ($M = Fe, Mn, Zn$ и Ni). New synthesis routes for difluorides MF_2 ($M = Fe, Mn, Zn$ and Ni) / Pourroy G., Poix P. // J. Fluor. Chem.— 1989.— 42, № 2. С. 257—263.— Англ.

Взаимодействием между Fe_2O_3 , Mn_3O_4 и ZnO и избытком NH_4F в атмосфере Ag при $720-750^\circ C$ получены FeF_2 ; MnF_2 и ZnF_2 соотв. Пр-нием $Ni(OH)_2NiCO_3 \cdot 4H_2O$ в 40% HF , выпариванием и послед. нагреванием тв. остатка при $800^\circ C$ получена смесь NiO и NiF_2 . Чистые препараты NiF_2 получали пр-нием NiO в спирт. р-ре HCl . Выделенные дифториды охарактеризованы методом РФА. Предполагается, что механизм р-ции между Fe_2O_3 и NH_4F включает след. стадии:
 $Fe_2O_3 + 12NH_4F \rightarrow 2(NH_4)_3FeF_6 + 3H_2O + 6NH_3$ ($150^\circ C$);
 $(NH_4)_3FeF_6 \rightarrow NH_4FeF_4 + 2NH_4F$ ($250^\circ C$); $NH_4FeF_4 \rightarrow FeF_3 + NH_4F$ ($350^\circ C$); $3FeF_3 + NH_4F \rightarrow 3FeF_2 + 0,5N_2 + 4HF$ ($750^\circ C$). CuO при $350^\circ C$ также взаимодействует с NH_4F , однако образующийся CuF_2 легко гидролизуется, а также частично восстанавливается избытком NH_4F . При нагревании V_2O_5 с избытком NH_4F до $770^\circ C$ образуется VF_3 .

(73) 4

X. 1989, N 13

С. И. Никитенко

FeF₂

от. 36718

1992

Болталина О.В., Борцезевский А.Я.
и др.,

(Р, К, ДН) Дл. Физ. химии, 1992, 66;
№9, 2289-2309.

Термохимические фториды Zr - элементов
и их окислителей ● их ионов в
газовой фазе.

FeF_2

1994

Marinelli M.,
Mercuri F., et al.

(Gp 4gp)

J. Phys. IV 1994, 4,
261-6.

(see \bullet Cr_2O_3 ; I)

FeF₂ (K)

122

1995

122: 249456s Specific heat, thermal diffusivity, and thermal conductivity of FeF₂ at the Neel temperature. Marinelli, M.; Mercuri, F.; Belanger, D. P. (Dipartimento di Ingegneria Meccanica, II Università di Roma "Tor Vergata", 00133 Rome, Italy). *Phys. Rev. B: Condens. Matter* 1995, 51(14), 8897-903 (Eng). Photopyroelec. simultaneous measurements of the sp. heat, thermal diffusivity, and thermal cond. of single-crystl. FeF₂ at the antiferromagnetic-paramagnetic phase transition were performed. An Ising-like behavior was found for the sp. heat for $|t| < 1.2 \times 10^{-2}$, while, in the same reduced-temp. range, the thermal-diffusivity crit. behavior has been described according to a dynamic model for a uniaxial system with energy conservation with a crit. exponent $b = -0.11 \pm 0.02$. No clear power-law anomaly was found in the thermal cond.

(G)

C. A. 1995, 122, N 20

FeF₂(19)

1995

123: 123556b Ab initio study of antiferromagnetic rutile-type FeF₂. Valerio, G.; Catti, M.; Dovesi, R.; Orlando, R. (Dip. Chim. Fis. Electrochim., Univ. Milano, 20133 Milan, Italy). *Phys. Rev. B: Condens. Matter* 1995, 52(4), 2422-7 (Eng). The periodic UHF method is used to calc. the ground-state spin-polarized wave function and total energy of tetragonal FeF₂. Contracted Gaussian-type functions represent the AOs of Fe and F atoms. The nature of the antiferromagnetic insulator, with a d-d type band gap, is reproduced correctly by the calcns. On the basis of the d. of electron states, Mulliken population data, and charge- and spin-d. maps, the $d_{xy}^2/d_{xz}^2/d_{yz}^2$ splitting of t_{2g}^4 states is proved for the Fe²⁺ ion, consistent with the Jahn-Teller distortion of the FeF₆ octahedron. A limited charge back transfer from F⁻ to Fe²⁺ is obsd., with $z_{Fe} = +1.84|e|$. The equil. structural configuration and its evolution with pressure up to 12 GPa are calcd., including internal relaxation. The athermal equation of state, structural, and elastic parameters show a good agreement with exptl. data.

(misc. part)

C.A. 1995, 123, N10

FeF₂ (K)

Учр. 1996

124: 16430e Vapor Pressure and Standard Enthalpies of Sublimation of Iron Difluoride, Iron Dichloride, and Iron Dibromide. Bardi, Gianpiero; Brunetti, Bruno; Piacente, Vincenzo (Dipartimento di Chimica, Università degli Studi di Roma La Sapienza, Rome, Italy). *J. Chem. Eng. Data* 1996, 41(1), 14-20 (Eng). Vapor pressures of solid FeF₂, FeCl₂, and FeBr₂ were measured by the torsion and Knudsen methods and the following equations, valid in the reported temp. ranges, were derived: $\log\{p(\text{FeF}_2)/\text{kPa}\} = 10.58 \pm 0.20 - (13740 \pm 200)(\text{K}/\text{T})$ (958-1178 K), $\log\{p(\text{FeCl}_2)/\text{kPa}\} = 10.95 \pm 0.30 - (10390 \pm 300)(\text{K}/\text{T})$ (693-866 K), and $\log\{p(\text{FeBr}_2)/\text{kPa}\} = 11.09 \pm 0.20 - (10320 \pm 250)(\text{K}/\text{T})$ (655-835 K). The following std. sublimation enthalpies were detd. by second- and third-law treatment of the vapor pressures: $\Delta_{\text{sub}}H^\circ(298 \text{ K}) = 271 \pm 2, 204 \pm 4, \text{ and } 208 \pm 2 \text{ kJ}\cdot\text{mol}^{-1}$ for iron difluoride, dichloride, and dibromide, resp.

(p, Δ₃H° (1996))
морской
книжка. иллу

(+2) 12

FeCl₂, FeBr₂ (K)

C.A. 1996, 124, N 2

лср.